

Figura A4 - 1. Evolución de H_s/L en el emplazamiento del TRÍPODE 1 registrada entre las 12:00 horas del 20 de octubre y las 6:00 horas del 26 de octubre.

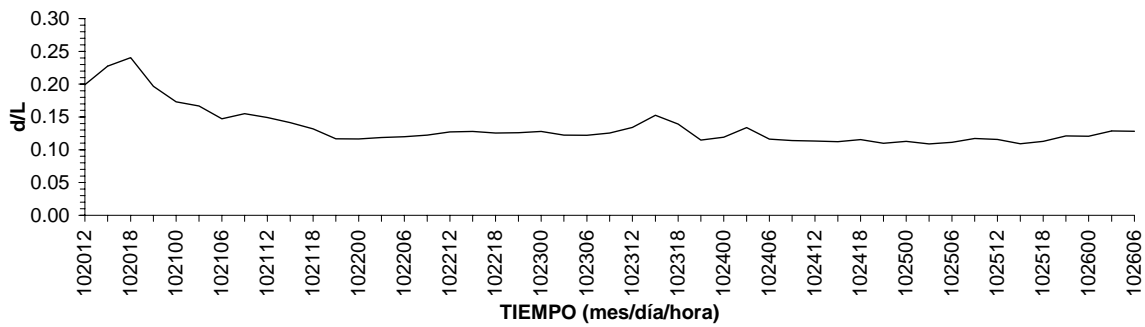


Figura A4 - 2. Evolución de d/L en el emplazamiento del TRÍPODE 1 registrada entre las 12:00 horas del 20 de octubre y las 6:00 horas del 26 de octubre.

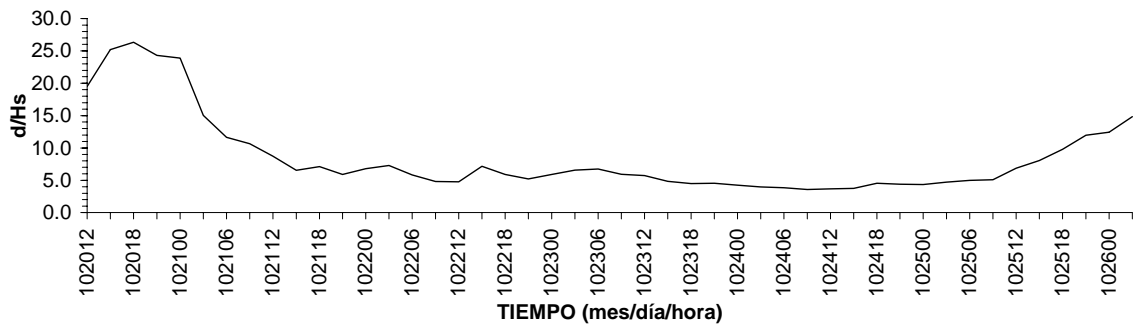


Figura A4 - 3. Evolución de d/H_s en el emplazamiento del TRÍPODE 1 registrada entre las 12:00 horas del 20 de octubre y las 6:00 horas del 26 de octubre.

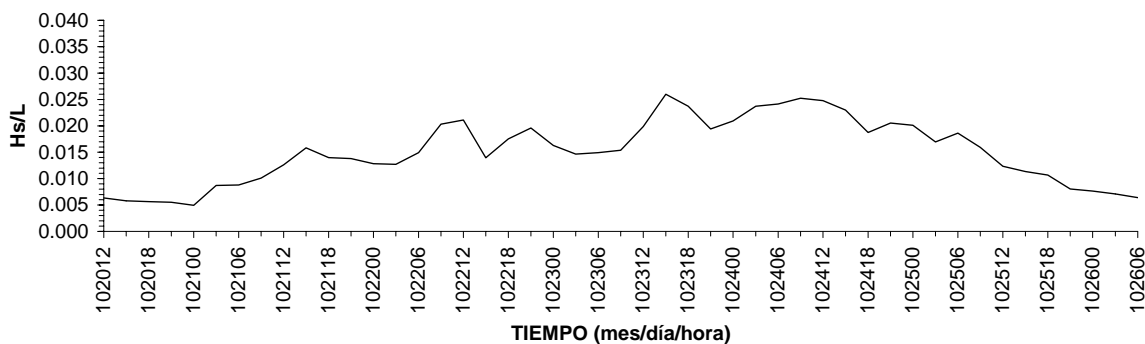


Figura A4 - 4. Evolución de H_s/L en el emplazamiento del TRÍPODE 2 registrada entre las 12:00 horas del 20 de octubre y las 6:00 horas del 26 de octubre.

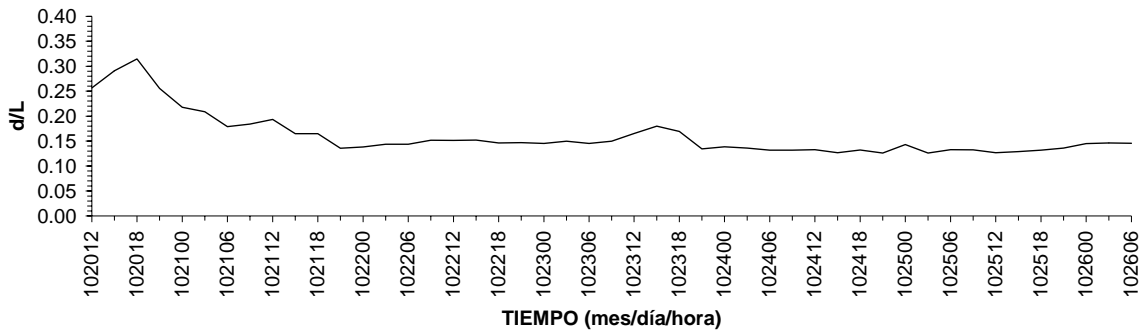


Figura A4 - 5. Evolución de d/L en el emplazamiento del TRÍPODE 2 registrada entre las 12:00 horas del 20 de octubre y las 6:00 horas del 26 de octubre.

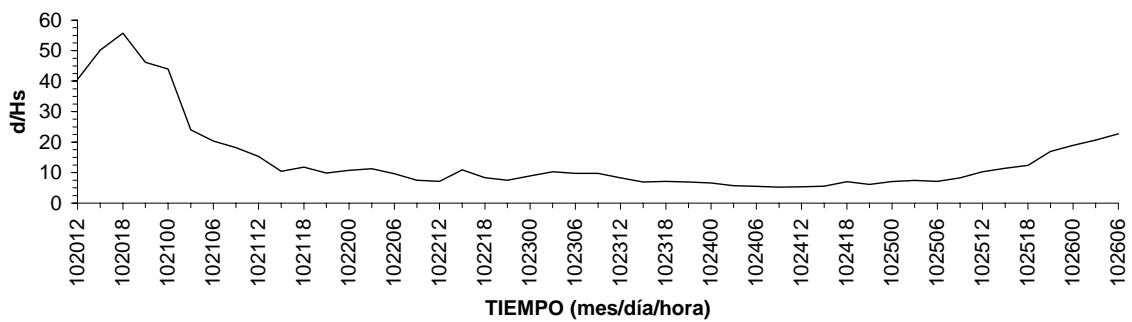


Figura A4 - 6. Evolución de d/H_s en el emplazamiento del TRÍPODE 2 registrada entre las 12:00 horas del 20 de octubre y las 6:00 horas del 26 de octubre.

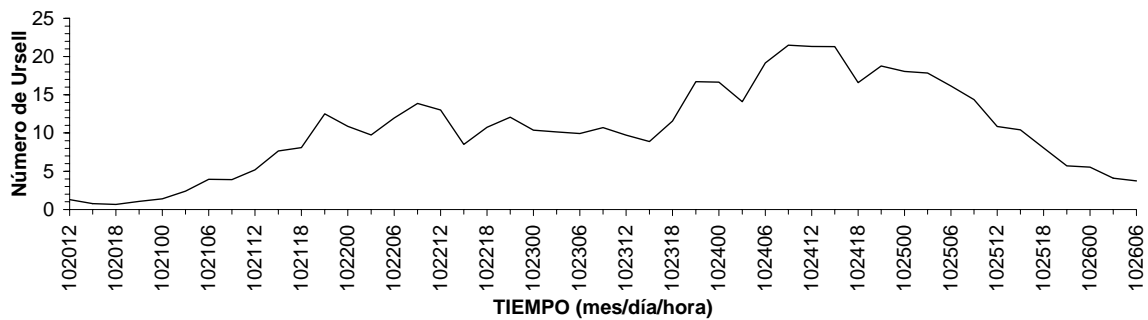


Figura A4 - 7. Evolución del número de Ursell en el emplazamiento del TRÍPODE 1 registrada entre las 12:00 horas del 20 de octubre y las 6:00 horas del 26 de octubre.

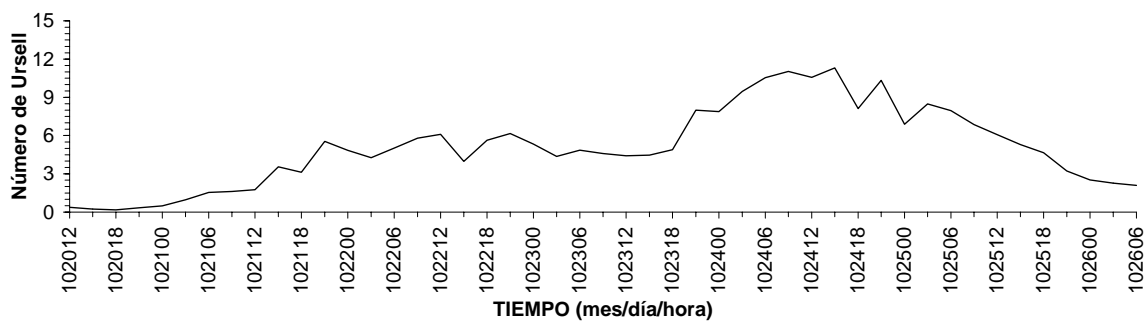


Figura A4 - 8. Evolución del número de Ursell en el emplazamiento del TRÍPODE 2 registrada entre las 12:00 horas del 20 de octubre y las 6:00 horas del 26 de octubre.

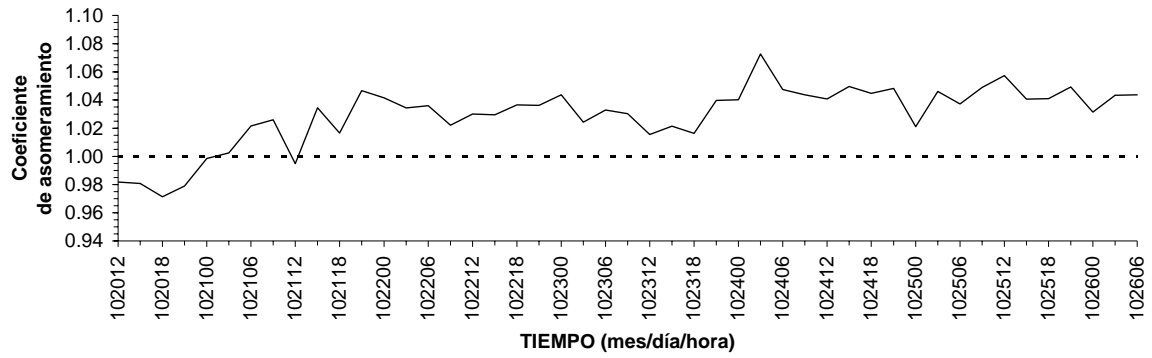


Figura A4 - 9. Evolución del coeficiente de asomeramiento teórico (K_s) entre las 12:00 horas del 20 de octubre y las 6:00 horas del 26 de octubre.

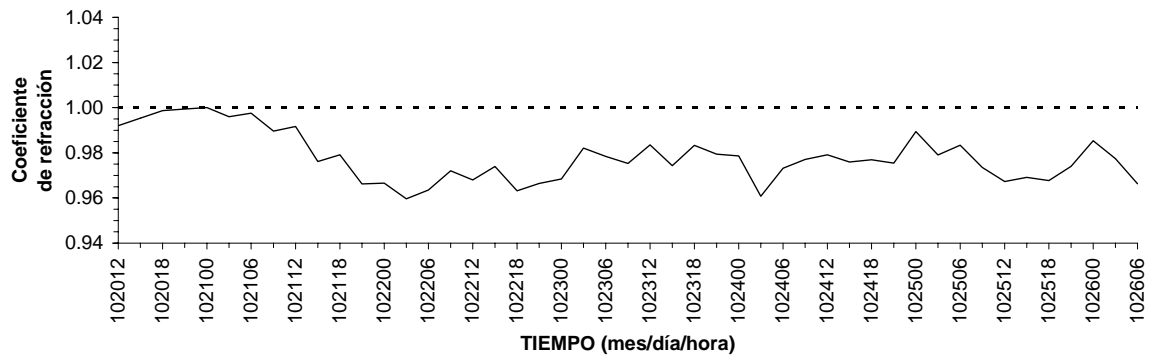


Figura A4 - 10. Evolución del coeficiente de refracción teórico (K_r) entre las 12:00 horas del 20 de octubre y las 6:00 horas del 26 de octubre.

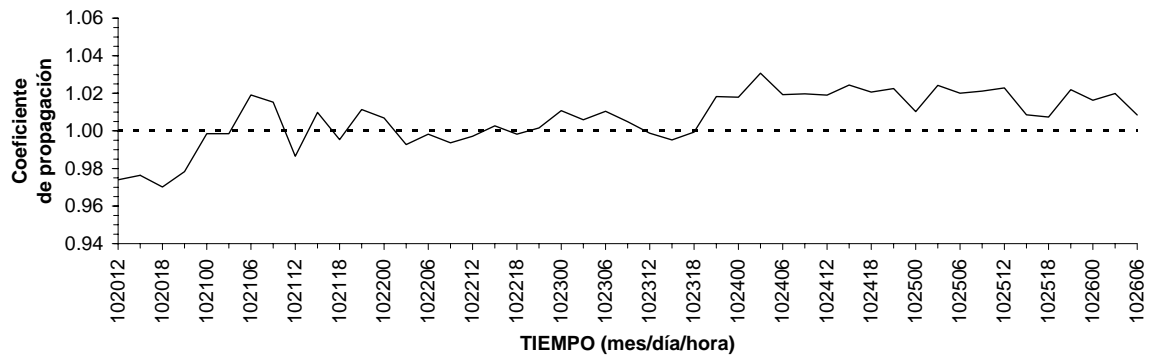


Figura A4 - 11. Evolución del coeficiente de propagación teórico ($K_p=K_s \cdot K_r$) entre las 12:00 horas del 20 de octubre y las 6:00 horas del 26 de octubre.

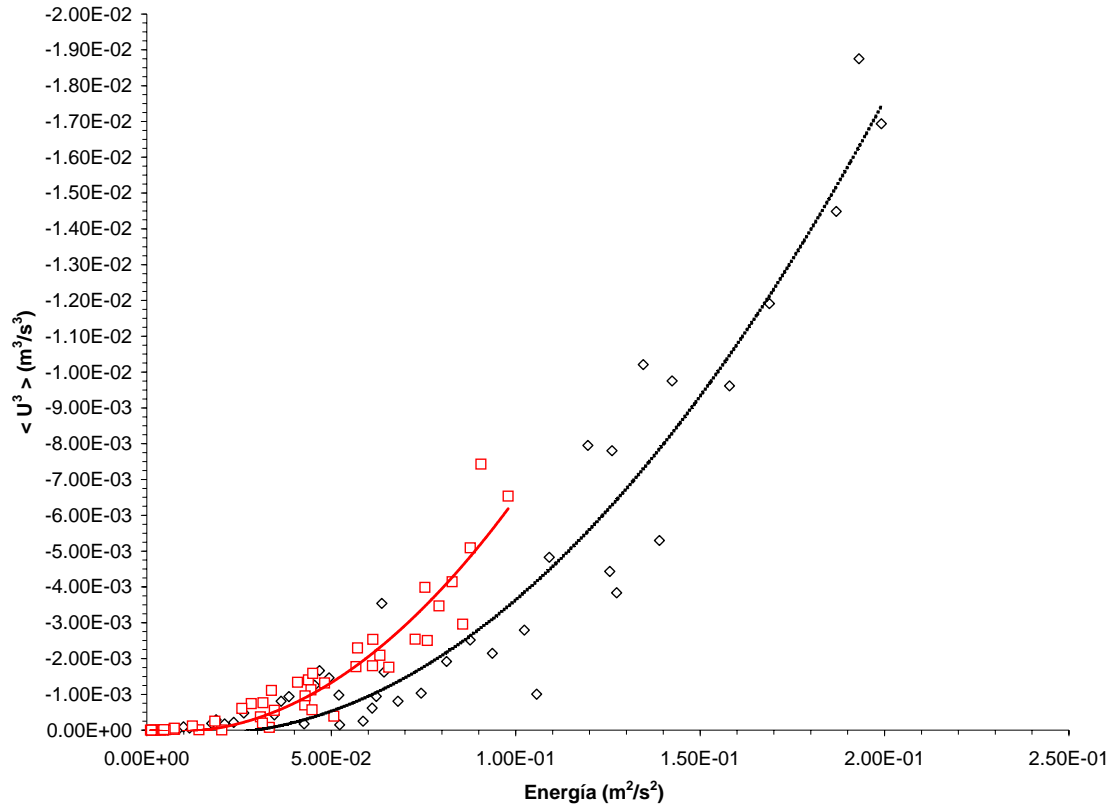


Figura A4 - 12. Relación entre $\langle U_h^3 \rangle$ asociada a los movimientos de alta frecuencia y la energía gravitatoria obtenida en la componente transversal (línea negra discontinua) y en la componente longitudinal (línea roja continua) en el nivel superior del TRIPODE 1 entre las 12:00 horas del 20 de octubre y las 6:00 horas del 26 de octubre.

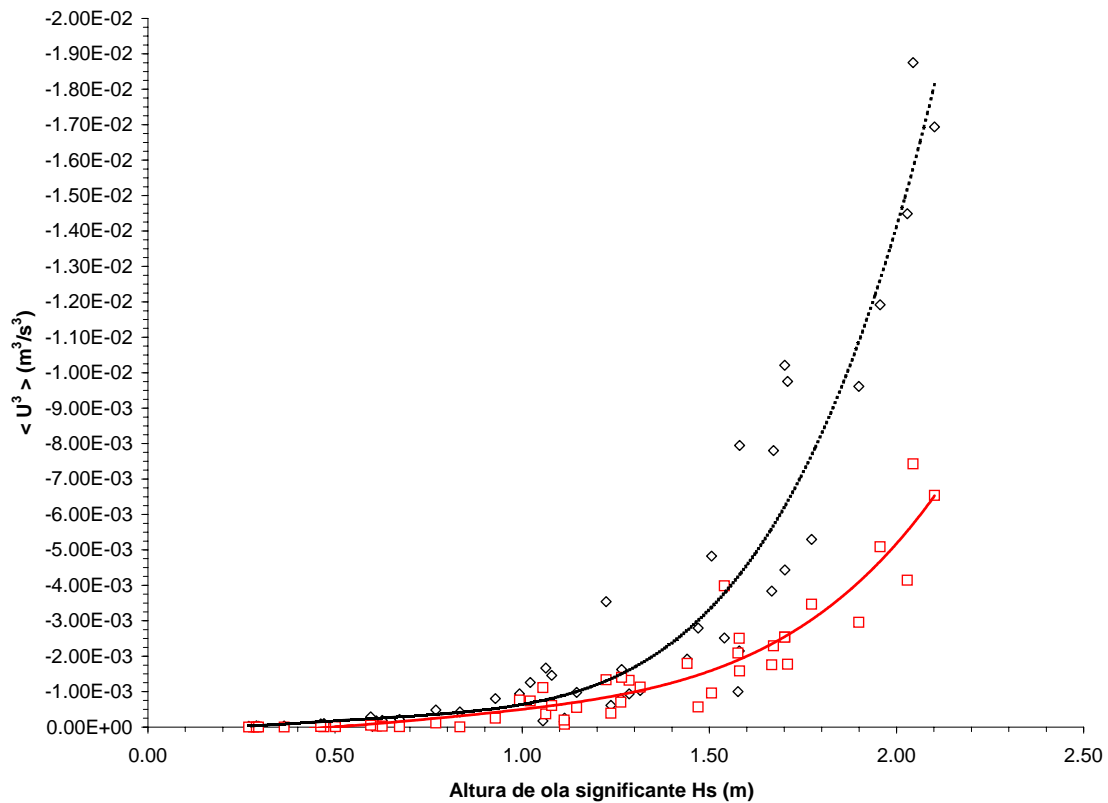


Figura A4 - 13. Relación entre $\langle U_h^3 \rangle$ asociada a los movimientos de alta frecuencia y la altura de ola significativa H_s obtenida en la componente transversal (línea negra discontinua) y en la componente longitudinal (línea roja continua) en el nivel superior del TRIPODE 1 entre las 12:00 horas del 20 de octubre y las 6:00 horas del 26 de octubre.

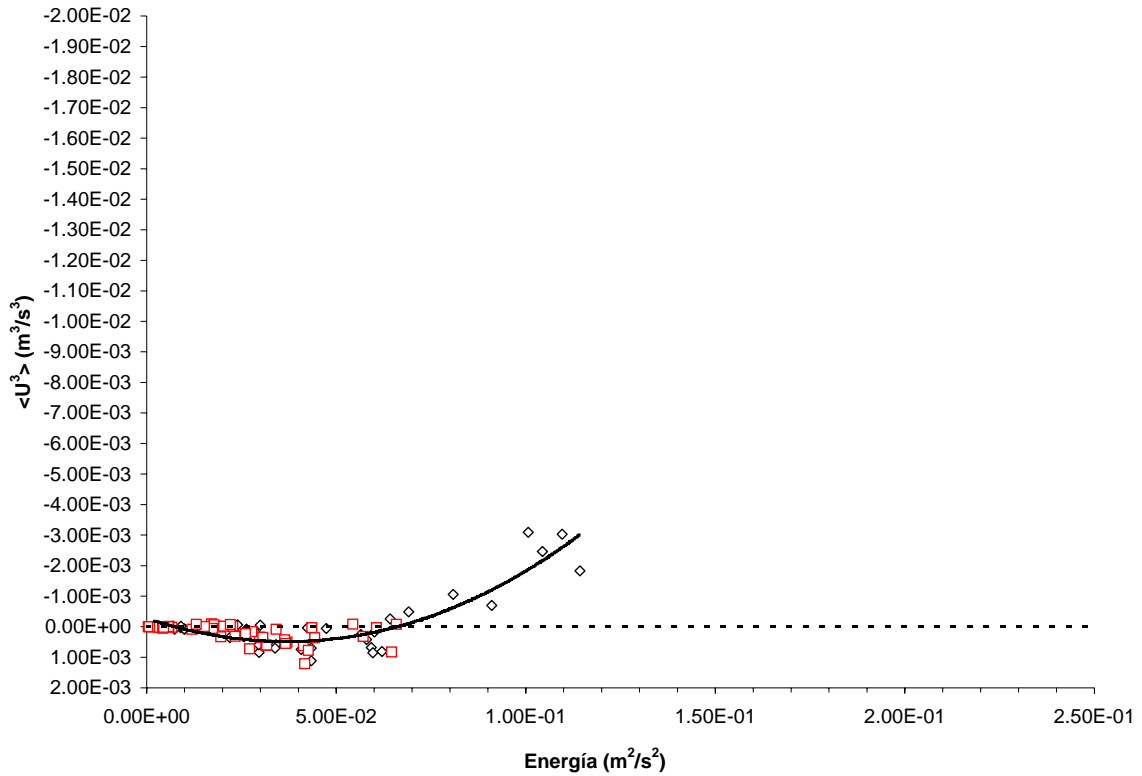


Figura A4 - 14. Relación entre $\langle U_h^3 \rangle$ asociada a los movimientos de alta frecuencia y la energía gravitatoria obtenida en la componente transversal (línea negra discontinua) y en la componente longitudinal (marcadores cuadrados rojos) en el nivel superior del TRÍPODE 2 entre las 12:00 horas del 20 de octubre y las 6:00 horas del 26 de octubre.

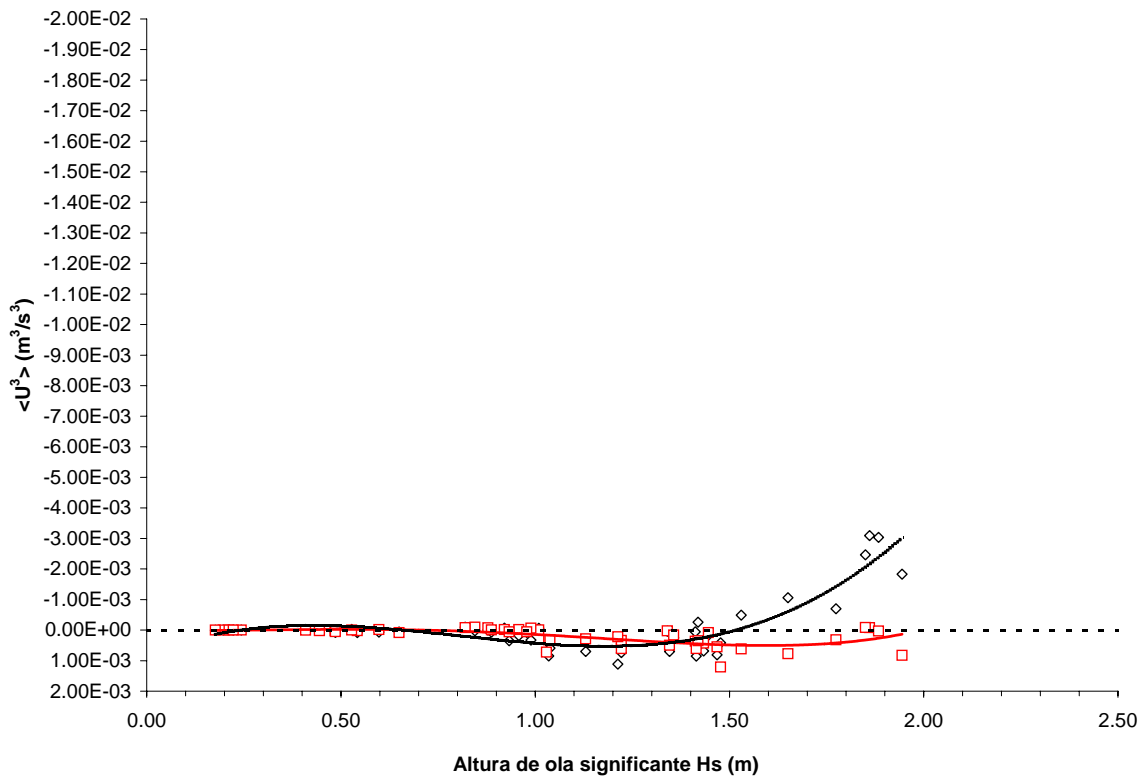


Figura A4 - 15. Relación entre $\langle U_h^3 \rangle$ asociada a los movimientos de alta frecuencia y la altura de ola significativa H_s obtenida en la componente transversal (línea negra discontinua) y en la componente longitudinal (línea roja continua) en el nivel superior del TRÍPODE 2 entre las 12:00 horas del 20 de octubre y las 6:00 horas del 26 de octubre.

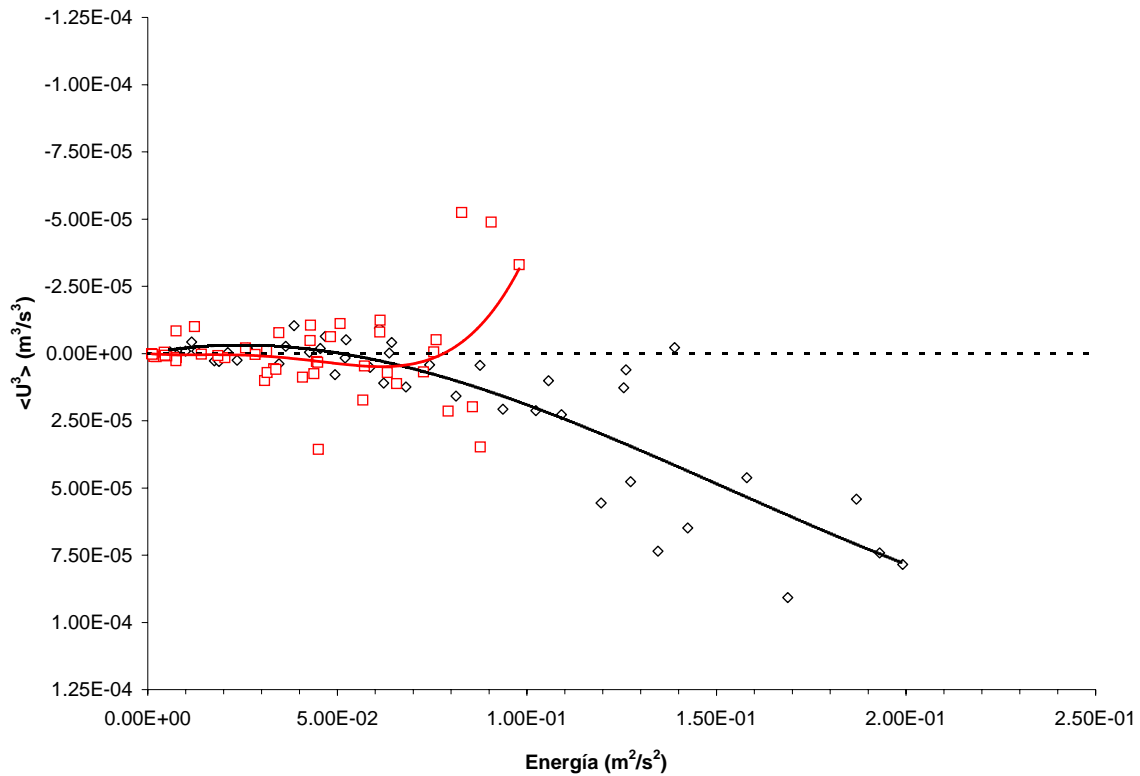


Figura A4 - 16. Relación entre $\langle U_i^3 \rangle$ asociada a los movimientos de baja frecuencia y la energía gravitatoria obtenida en la componente transversal (línea negra discontinua) y en la componente longitudinal (marcadores cuadrados rojos) en el nivel superior del TRÍPODE 1 entre las 12:00 horas del 20 de octubre y las 6:00 horas del 26 de octubre.

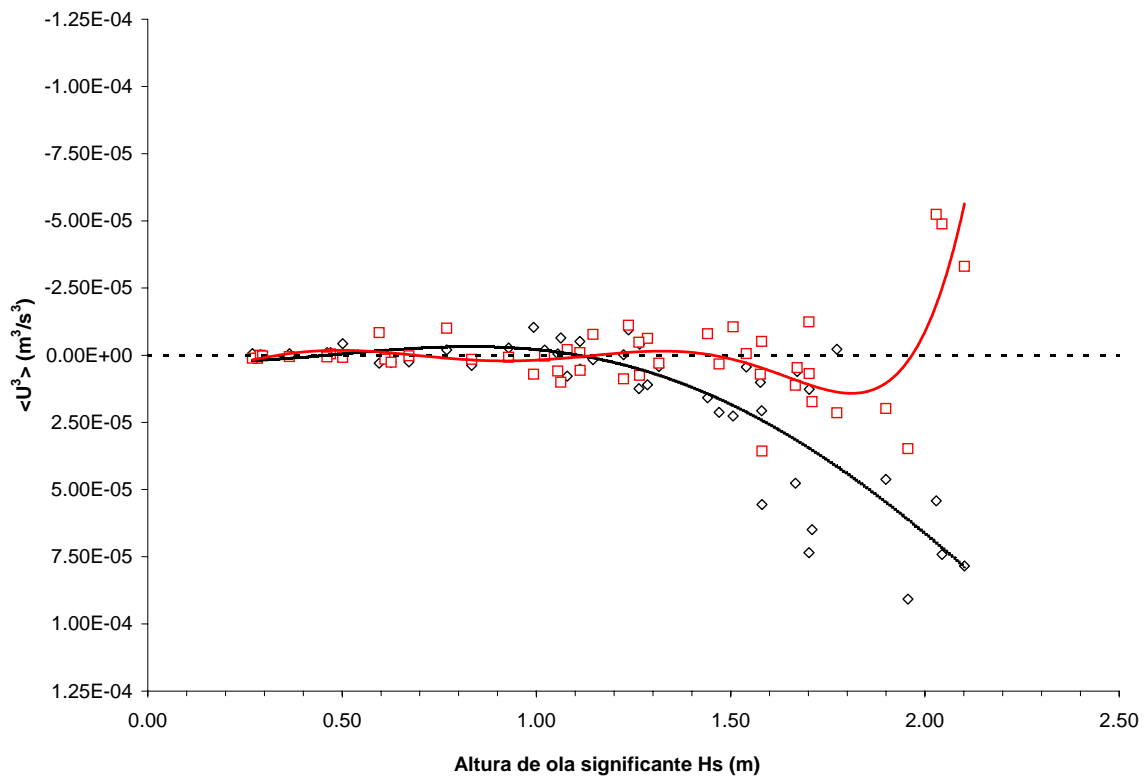


Figura A4 - 17. Relación entre $\langle U_i^3 \rangle$ asociada a los movimientos de baja frecuencia y la altura de ola significativa H_s obtenida en la componente transversal (línea negra discontinua) y en la componente longitudinal (línea roja continua) en el nivel superior del TRÍPODE 1 entre las 12:00 horas del 20 de octubre y las 6:00 horas del 26 de octubre.

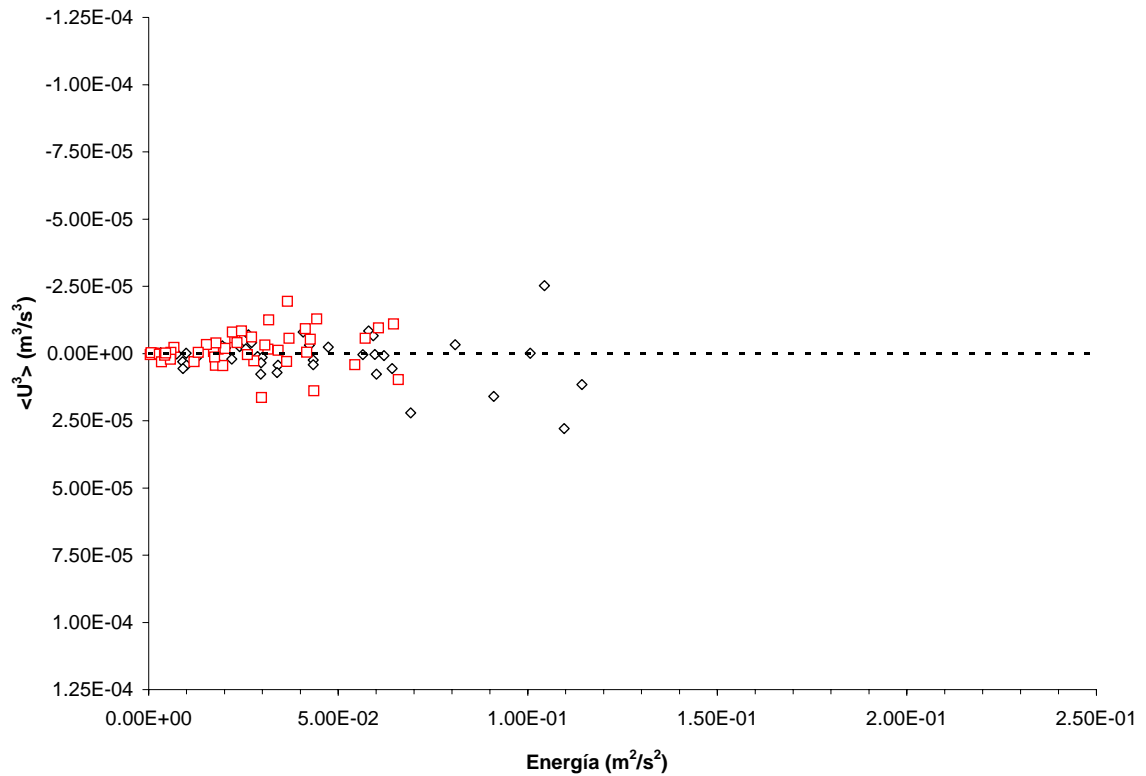


Figura A4 - 18. Relación entre $\langle U_1^3 \rangle$ asociada a los movimientos de baja frecuencia y la energía gravitatoria obtenida en la componente transversal (marcadores rombos negros) y en la componente longitudinal (marcadores cuadrados rojos) en el nivel superior del TRÍPODE 2 entre las 12:00 horas del 20 de octubre y las 6:00 horas del 26 de octubre.

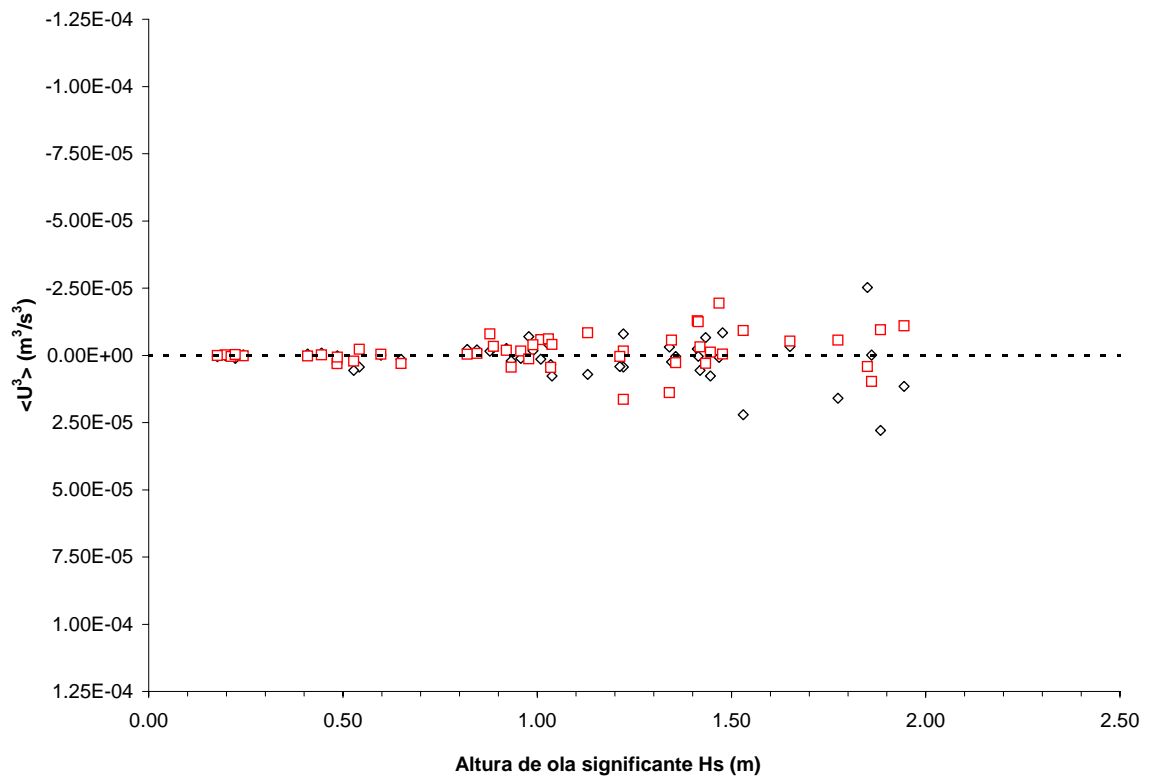


Figura A4 - 19. Relación entre $\langle U_1^3 \rangle$ asociada a los movimientos de baja frecuencia y la altura de ola significativa H_s obtenida en la componente transversal (marcadores rombos negros) y en la componente longitudinal (marcadores cuadrados rojos) en el nivel superior del TRÍPODE 2 entre las 12:00 horas del 20 de octubre y las 6:00 horas del 26 de octubre.